

文章编号: 1004-4353(2018)02-0124-05

Mn²⁺ 离子在 NaTaOGeO₄ 和 Na₄Ca₃(AlO₂)₁₀ 基质中的发光特性

于潘龙, 田莲花*

(延边大学 理学院, 吉林 延吉 133002)

摘要: 采用高温固相法制备了掺杂 Mn²⁺ 离子的 NaTaOGeO₄ 和 Na₄Ca₃(AlO₂)₁₀ 荧光粉, 并比较了 Mn²⁺ 离子在两种基质中的发光特性。研究表明: 在 248 nm 处的 Mn²⁺ → O²⁻ 电荷迁移跃迁的激发下, NaTaOGeO₄: Mn²⁺ 荧光粉在 576 nm 处有较强的属于 Mn²⁺ 离子的 ⁴T₁ → ⁶A₁ 能级跃迁的发射峰, 其能量来源于基质的能量传递; 而 Na₄Ca₃(AlO₂)₁₀: Mn²⁺ 荧光粉, 在 540 nm 处有 Mn²⁺ 离子的 ⁴T₁ → ⁶A₁ 能级跃迁, 由于该处无辐射能级跃迁的作用非常弱, 导致 Mn²⁺ 离子的发光强度很弱。

关键词: Mn²⁺; 荧光粉; 能量传递; 发光特性

中图分类号: O482.31

文献标识码: A

Photoluminescence properties of Mn²⁺ ions doped in NaTaOGeO₄ and Na₄Ca₃(AlO₂)₁₀ host matrix

YU Panlong, TIAN Lianhua*

(College of Science, Yanbian University, Yanji 133002, China)

Abstract: Mn²⁺ doped phosphors NaTaOGeO₄ and Na₄Ca₃(AlO₂)₁₀ are prepared by the high temperature solid-state reaction. The photoluminescence properties of Mn²⁺ ions in these two hosts are compared in this paper. The excitation spectrum of NaTaOGeO₄: Mn²⁺ exhibit a broad absorption band centered at 248 nm which assigned to the Mn²⁺ → O²⁻ charge transfer transition. Due to the energy transfer from host matrix to Mn²⁺ ions, the photoluminescence spectra of NaTaOGeO₄: Mn²⁺ exhibit a strong emission band at 576 nm which attributed to the Mn²⁺ ions ⁴T₁ → ⁶A₁ transition. However, the emission spectrum of Na₄Ca₃(AlO₂)₁₀: Mn²⁺ shows a weak nonradiative ⁴T₁ → ⁶A₁ transition of Mn²⁺ at 542 nm, thus lead to a weak emitting intensity.

Keywords: Mn²⁺; phosphor; energy transfer; photoluminescence

0 引言

近年来, Mn²⁺ 离子单掺杂的发光材料以及 Mn²⁺ 离子与其他离子共掺杂的发光材料受到学者们的广泛关注和研究^[1]。例如: 2011 年, 王雪等^[2] 研究了荧光粉 Na₄Ca₃(AlO₂)₁₀: Eu³⁺, Mn²⁺ 的发光特性; 2015 年, Pasiński 等^[3] 研究了荧光粉 Sr₃Y₂Ge₃O₁₂: Ce³⁺, Mn²⁺ 的发光(从绿光到红

橙光)特性; 2016 年, 曹仁平等^[4] 研究了绿色荧光粉 NaAl₁₁O₁₇: Mn²⁺ 的发光特性。研究^[5] 显示, Mn²⁺ 离子荧光粉的激发机制通常包括: Mn²⁺ 离子之间的间接电荷转移跃迁, Mn²⁺ 离子之间的带-带跃迁或 Mn²⁺ 离子的 3d⁵ 电子组态直接激发。但由于 Mn²⁺ 离子的 d-d 跃迁是自旋禁戒跃迁, 且其 3d⁵ 电子组态有很强的自旋-轨道耦合, 因此 Mn²⁺ 离子的发光效率很低, 难以在基质中单

收稿日期: 2017-05-02

* 通信作者: 田莲花(1972—), 女, 博士, 教授, 研究方向为发光材料。

独掺杂发光^[6].因此,研究者通常将Mn²⁺离子和Eu²⁺、Pr³⁺及Ce³⁺等稀土离子共掺来增强Mn²⁺离子的发光强度,即通过稀土离子将能量传递给Mn²⁺离子,使Mn²⁺离子的特征发射峰增强.文献[2]研究表明,在Na₄Ca₃(AlO₂)₁₀:Mn²⁺中,通过共掺敏化剂Eu²⁺离子,可增强Mn²⁺离子的发射峰.受文献[2]的启发,本文制备掺杂Mn²⁺离子的NaTaOGEO₄:Mn²⁺和Na₄Ca₃(AlO₂)₁₀:Mn²⁺两种荧光粉,并分析Mn²⁺离子在不同基质中的发光机制.

1 实验仪器、材料和制备过程

1.1 实验仪器

采用X射线衍射仪(Japan,Rigaku,D/max 2200VPC)分析物相,Cu靶,波长为0.154 056 nm.激发光谱和发射光谱采用荧光光谱仪(Japan,Hitachi,F-7000)测定,光谱仪监测电压为550 W,监测光源为高压氙灯.荧光衰减寿命采用稳态/瞬态荧光光谱仪(UK,Edinburgh,FLS-920)测定.变温光谱采用稳态/瞬态荧光光谱仪(UK,Edinburgh,FLS-980)测定.

1.2 实验材料及制备过程

本文采用高温固相法在无污染环境中制备NaTaOGEO₄:Mn²⁺和Na₄Ca₃(AlO₂)₁₀:Mn²⁺荧光材料.制备NaTaOGEO₄:Mn²⁺的原材料为Na₂CO₃(A.R.99.99%)、Ta₂O₅(A.R.99.99%)、GeO₂(A.R.99.99%)和MnCO₃(A.R.99.95%).制备Na₄Ca₃(AlO₂)₁₀:Mn²⁺的原材料为Na₂CO₃(A.R.99.99%)、CaCO₃(A.R.99.99%)、Al₂O₃(A.R.99.99%)、Eu₂O₃(A.R.99.99%)、MnCO₃(A.R.99.95%)和H₃BO₃(A.R.99.99%).

NaTaOGEO₄:Mn²⁺的制备过程:按照一定的化学计量比准确称量原材料,然后将所有原材料充分混合研磨后装入刚玉坩埚,在高温煅烧炉中以1200℃煅烧2 h,待样品冷却至室温后即得所需样品.

Na₄Ca₃(AlO₂)₁₀:Mn²⁺的制备过程:按照一定的化学计量比准确称量原材料,然后将所有原料混合研磨后装入刚玉坩埚,在高温煅烧炉中煅烧.温度先停留在851℃,煅烧时间为10 min,随

后温度升高至1250℃,煅烧时间为2 h,待样品冷却至室温后即得所需样品.

2 结果与分析

基质NaTaOGEO₄和荧光粉NaTaOGEO₄:Mn²⁺的X射线衍射图谱如图1所示.从图1中可以观察到,NaTaOGEO₄:Mn²⁺的XRD图谱与NaTaOGEO₄标准JCPDS卡片No.45-0640相吻合,未观察到杂相峰.这说明掺杂少量的Mn²⁺离子对晶体的结构和性质没有影响.图2是标准Na₄Ca₃(AlO₂)₁₀JCPDS卡片No.02-1003和荧光粉Na₄Ca₃(AlO₂)₁₀:Mn²⁺的XRD图谱.在图2中虽然观察到有Na₂B₈O₁₃、Na₄B₂O₅的杂相,但其并没有影响Na₄Ca₃(AlO₂)₁₀的发光性质,说明Mn²⁺离子的掺杂对基质的结构没有造成较大影响.

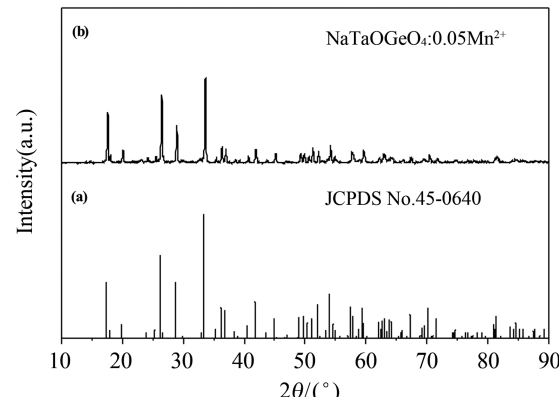


图1 NaTaOGEO₄(JCPDS No.45-0640)和NaTaOGEO₄:0.05Mn²⁺的XRD图谱

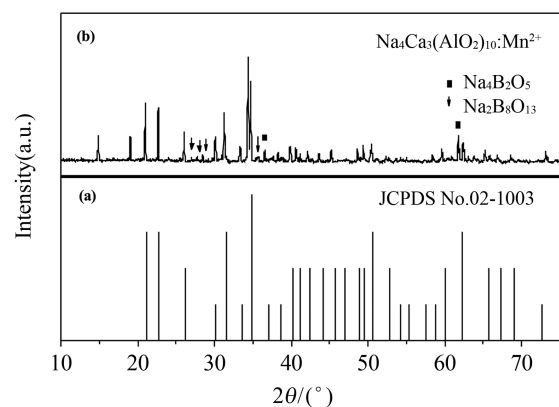


图2 Na₄Ca₃(AlO₂)₁₀(JCPDS No.02-1003)和Na₄Ca₃(AlO₂)₁₀:Mn²⁺的XRD图谱

本文研究的基质 NaTaOGeO_4 是单斜晶系钛铁矿型结构, 其空间群为 C2/C, 晶格常数为 $a = 6.838 \text{ \AA}$, $b = 8.907 \text{ \AA}$ 和 $c = 7.398 \text{ \AA}$ ^[7]. 在 NaTaOGeO_4 中, 因 Mn^{2+} 离子半径 (0.83 \AA) 与 Na^+ 离子半径 (1.12 \AA) 相近, 因此可认为 Mn^{2+} 离子更容易替代 Na^+ 离子的格位. 在 Mn^{2+} 离子替代 Na^+ 离子格位的过程中, 为了保持电荷平衡, Mn^{2+} 离子必须捕获一个间隙的 O^{2-} 才能占据 Na^+ 离子的格位^[4].

为了验证 Mn^{2+} 离子在 NaTaOGeO_4 中替代的是 Na^+ 离子的格位, 本文利用相同摩尔浓度的 Mn^{2+} 离子分别替代 Na^+ 、 Ta^{5+} 和 Ge^{4+} 离子格位, 制备了 3 种样品: $\text{Na}_{0.95}\text{TaOGeO}_4 : 0.05\text{Mn}^{2+}$ 、 $\text{NaTa}_{0.95}\text{OGeO}_4 : 0.05\text{Mn}^{2+}$ 和 $\text{NaTaOGe}_{0.95}\text{O}_4 : 0.05\text{Mn}^{2+}$. 3 种样品的激发光谱和发射光谱如图 3 所示, 其中图 3(a) 为在 576 nm 波长下的激发光谱, 图 3(b) 为在 248 nm 激发下的发射图谱. 由图 3 可以观察到, 当 Mn^{2+} 离子替代 Na^+ 离子格位时, 其光谱的发射强度远远大于 Mn^{2+} 离子替代 Ta^{5+} 离子格位和 Ge^{4+} 离子格位时的发射强度, 因此可认为 Na^+ 离子格位是 Mn^{2+} 离子的理想替代位置.

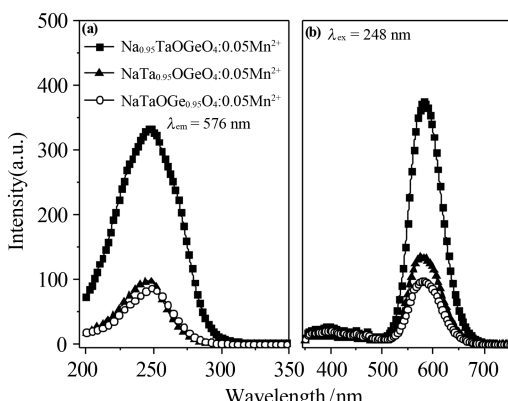


图 3 3 种样品在 576 nm 检测下的激发光谱(a)和在 248 nm 激发下的发射图谱(b)

图 4 为不同条件下测得的 $\text{Na}_{0.98}\text{TaOGeO}_4 : 0.02\text{Mn}^{2+}$ 和 $\text{Na}_4\text{Ca}_{2.95}(\text{AlO}_2)_{10} : 0.05\text{Mn}^{2+}$ 的激发和发射光谱. 研究表明, $3d^5$ 电子组态很容易被晶体场影响, Mn^{2+} 离子掺杂的荧光材料通常能在强晶体场中展现出红橙光发射, 在弱晶体场中展现出绿光发射^[8-9]. 在 $\text{Na}_{0.98}\text{TaOGeO}_4 : 0.02\text{Mn}^{2+}$

的激发光谱中, 在 248 nm 处有一条吸收宽带, 属于 $\text{Mn}^{2+} \rightarrow \text{O}^{2-}$ 电荷迁移跃迁. 在 248 nm 波长激发下, $\text{Na}_{0.98}\text{TaOGeO}_4 : 0.02\text{Mn}^{2+}$ 的发射光谱在 576 nm 处有很强的属于 Mn^{2+} 离子 ${}^4\text{T}_1({}^4\text{G}) \rightarrow {}^6\text{A}_1({}^6\text{S})$ 跃迁发射, 属于黄橙光发射^[10]. 另外, 在 350~500 nm 之间可观察到微弱的基质发射.

$\text{Na}_4\text{Ca}_{2.95}(\text{AlO}_2)_{10} : 0.05\text{Mn}^{2+}$ 荧光粉在 270 nm 处有属于基质的吸收带, 在 400 nm 和 440 nm 处有 2 个微弱的属于 Mn^{2+} 离子的 ${}^6\text{A}_1({}^6\text{S}) \rightarrow {}^4\text{T}_2({}^4\text{G})$ 和 ${}^6\text{A}_1({}^6\text{S}) \rightarrow {}^4\text{T}_1({}^4\text{G})$ 跃迁吸收峰. 这是因为 Mn^{2+} 离子受晶体场环境影响较大, 使得 Mn^{2+} 离子对紫外光吸收很弱^[11-13]. 因此, 王雪等^[2]通过共掺杂 Eu^{2+} 离子的方式, 使 Mn^{2+} 的特征发射峰得到了增强.

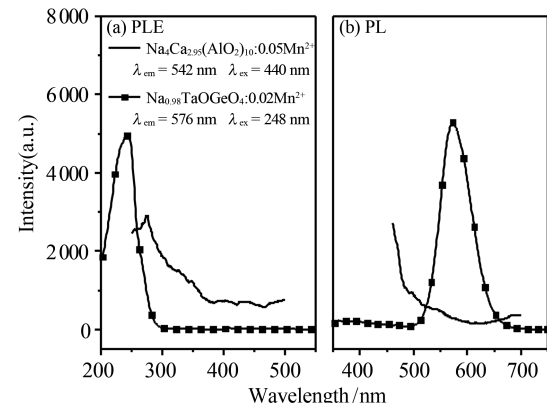


图 4 不同条件下 $\text{Na}_{0.98}\text{TaOGeO}_4 : 0.02\text{Mn}^{2+}$ 和 $\text{Na}_4\text{Ca}_{2.95}(\text{AlO}_2)_{10} : 0.05\text{Mn}^{2+}$ 的激发光谱(a)和发射光谱(b)

$\text{NaTaOGeO}_4 : x\text{Mn}^{2+}$ ($x = 0.005, 0.01, 0.02, 0.03$ 和 0.05) 在 248 nm 波长激发下测得的位于 576 nm 处的发射强度变化如图 5 所示. 由图 5 可知, $\text{Na}_{0.95}\text{TaOGeO}_4 : 0.05\text{Mn}^{2+}$ 的 ${}^4\text{T}_1({}^4\text{G}) \rightarrow {}^6\text{A}_1({}^6\text{S})$ 能级跃迁强度明显强于 $\text{Na}_4\text{Ca}_{2.95}(\text{AlO}_2)_{10} : 0.05\text{Mn}^{2+}$ 的 ${}^4\text{T}_1({}^4\text{G}) \rightarrow {}^6\text{A}_1({}^6\text{S})$ 能级跃迁, 这是因为 NaTaOGeO_4 基质与 Mn^{2+} 离子存在能量传递, 增强了其能级跃迁强度. 文献[14]研究表明, 随着 Mn^{2+} 离子浓度的增大, 其基质的发射强度逐渐降低, Mn^{2+} 离子 ${}^4\text{T}_1({}^4\text{G}) \rightarrow {}^6\text{A}_1({}^6\text{S})$ 能级跃迁强度逐渐增强, 但是当浓度增加到 2 mol% 时, Mn^{2+} 离子发生浓度猝灭, 进而导致发射强度降低. 因此, $\text{NaTaOGeO}_4 : x\text{Mn}^{2+}$ 的最佳掺杂浓度

为 $x=0.02$.

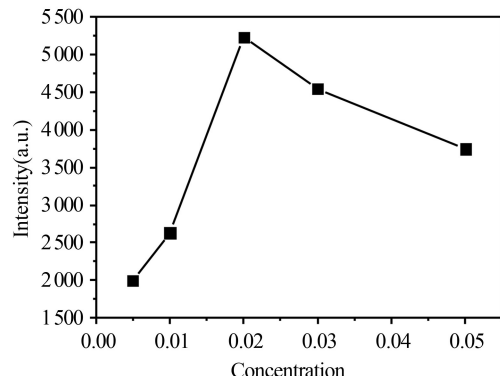


图 5 NaTaOGEO₄: x Mn²⁺ ($x=0.005, 0.01, 0.02, 0.03$ 和 0.05) 在 248 nm 波长激发下测得的位于 576 nm 处的发射强度变化曲线

为了研究 Mn²⁺ 离子在 NaTaOGEO₄: x Mn²⁺ 中的能量传递机制,本文通过 Blasse 公式^[15]计算了其最佳迁移距离 (R_c):

$$R_c \approx 2[3V/(4\pi X_c N)]^{1/3}. \quad (1)$$

其中: V 为基质的晶格体积; X_c 为临界浓度,即最佳掺杂浓度; N 为单位晶格内可掺杂的格位数. 在 NaTaOGEO₄ 基质中, $V=407.94 \text{ \AA}^3$, $X_c=0.02$, $N=6$. 通过计算得到临界迁移距离 $R_c=18.66 \text{ \AA}$. 根据无辐射跃迁定律可知,在 NaTaOGEO₄ 中, Mn²⁺ 离子之间也存在能量传递,且 Mn²⁺ 离子之间的能量传递机制属于电多极交互作用.

文献[8]研究表明,利用敏化剂或通过基质传递能量可增强 Mn²⁺ 离子的 ${}^4T_1({}^4G) \rightarrow {}^6A_1({}^6S)$ 跃迁强度,即可增强 Mn²⁺ 离子的发光强度. 在 NaTaOGEO₄:Mn²⁺ 中, Mn²⁺ 离子与基质的发射中心产生耦合作用,将基质吸收的能量传递给 Mn²⁺ 离子,使得这种掺杂能够发出很强的 ${}^4T_1({}^4G) \rightarrow {}^6A_1({}^6S)$ 黄橙光发射. 但在 Na₄Ca_{2.95}(AlO₂)₁₀:0.05Mn²⁺ 中,由于基质到 Mn²⁺ 离子之间没有能量传递,使得自旋禁戒的 $d-d$ 能级跃迁发光效率极低,导致 Mn²⁺ 离子的激发光谱和发射光谱都很弱. 因此,在掺入具有敏化作用的 Eu²⁺ 离子的 Na₄Ca₃(AlO₂)₁₀:Mn²⁺ 荧光粉中,随着 Mn²⁺ 离子发射强度的增加, Eu²⁺ 离子发射强度相应降低,这初步证实了 Eu²⁺ \rightarrow Mn²⁺ 的能量传递.

图 6 给出了在荧光粉 NaTaOGEO₄:Mn²⁺ 和 Na₄Ca₃(AlO₂)₁₀:Mn²⁺ 中 Mn²⁺ 离子的 $3d^5$ 电子

跃迁的过程,其中 1、2 为 NaTaOGEO₄:Mn²⁺ 的能级跃迁过程,3、4、5 为 Na₄Ca₃(AlO₂)₁₀:Mn²⁺ 的能级跃迁过程. 由图 6 中的 1 和 2 可以看出, Mn²⁺ \rightarrow O²⁻ 电荷迁移跃迁直接使 ${}^4T_1({}^4G) \rightarrow {}^6A_1({}^6S)$ 以辐射跃迁的形式释放出 Mn²⁺ 特征发射. 由图 6 中的 3、4、5 可以看出,在没有敏化剂的作用下,基态电子被激发到 4T_1 能级后, Mn²⁺ 离子 ${}^4T_1({}^4G) \rightarrow {}^6A_1({}^6S)$ 以无辐射跃迁的形式表现出来,即降低了 ${}^4T_1({}^4G) \rightarrow {}^6A_1({}^6S)$ 跃迁强度.

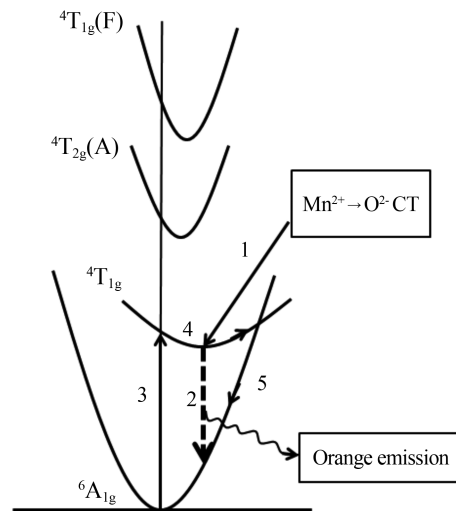


图 6 Mn²⁺ 离子 $3d^5$ 能级图解

图 7 为 NaTaOGEO₄:Mn²⁺ 的 CIE 色度图,其发光色坐标为 (0.4876, 0.4916), 属于标准的黄橙光发射,该黄橙光波长(576 nm)与防虫防害治理器材的有效波长(580 nm)^[16]几乎吻合,因此 NaTaOGEO₄:Mn²⁺ 有望被应用于农业生产中的防虫防害领域当中.

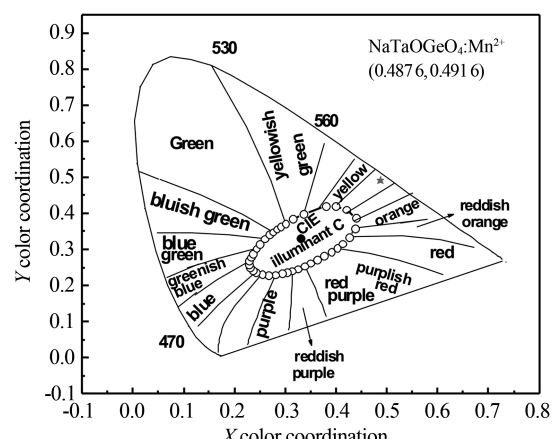


图 7 NaTaOGEO₄:0.02Mn²⁺ 的 CIE 色度图

参考文献：

- [1] Xiao F, Song E H, Zhang Q Y. A yellow-emitting phosphor of Mn²⁺-doped Na₂CaP₂O₇[J]. Spectrochim Acta A, 2014, 122(6):343-347.
- [2] 王雪,田莲花.Na₄Ca₃(AlO₂)₁₀:Eu²⁺,Mn²⁺荧光粉的发光特性[J].发光学报,2011,32(11):1109-1114.
- [3] Pasiński D, Zych E, Sokolnicki J. Ce³⁺ to Mn²⁺ energy transfer in Sr₃Y₂Ge₃O₁₂:Ce³⁺, Mn²⁺ garnet phosphor[J]. J Alloys Compd, 2015, 653:636-642.
- [4] Cao R P, Peng D D, Xu H D, et al. Synthesis and luminescence properties of NaAl₁₁O₁₇:Mn²⁺ green phosphor for white LEDs[J]. J Lumin, 2016, 178: 388-391.
- [5] Zhang Q H, Wang J, Yeh C W, et al. Structure, composition, morphology, photoluminescence and cathodoluminescence properties of ZnGeN₂ and ZnGeN₂:Mn²⁺ for field emission displays[J]. Acta Mater, 2010, 58(20):6728-6735.
- [6] 刘行仁,田军,王晓君,等.Cd₃Al₂Ge₃O₁₂:Mn²⁺ 锌酸盐石榴石光谱性质[J].发光学报,1994,15(2):83-88.
- [7] Malcherek Thomas. A structural phase transition in NaTaOGeO₄ and its relation to phase transitions in titanite[J]. Acta Crystallogr B, 2007, 63(4):545-550.
- [8] Guo N, Huang Y J, You H P, et al. Ca₉Lu(PO₄)₇: Eu²⁺, Mn²⁺: a potential single-phased white-light-emitting phosphor suitable for white-light-emitting diodes[J]. Inorg Chem, 2010, 49 (23): 10907-10913.
- [9] 贺明睿,肖林久,田彦文,等.BaAl₁₂O₁₉中Mn²⁺和Tb³⁺的发光及Tb³⁺对Mn²⁺的能量传递[J].稀土,2009,30(1):10-13.
- [10] Xia Z G, Liu Q L. Progress in discovery and structural design of color conversion phosphors for LEDs[J]. Prog Mater Sci, 2016, 84:59-117.
- [11] Yang P, Yao G Q, Lin J H. Energy transfer and photoluminescence of BaMgAl₁₀O₁₇ co-doped with Eu²⁺ and Mn²⁺ [J]. Opt Mater, 2004, 26 (3): 327-331.
- [12] Kim Y K, Choi S H, Jung H K. Photoluminescence properties of Eu²⁺ and Mn²⁺-activated BaMgP₂O₇ as a potential red phosphor for white-emission[J]. J Lumin, 2010, 130(1):60-64.
- [13] Shinde K N, Dhoble S J, Animesh K. Photoluminescence studies of NaCaPO₄:RE (RE = Dy³⁺, Mn²⁺ or Gd³⁺)[J]. Physica B, 2011, 406(1):94-99.
- [14] Li K, Liu X M, Zhang Y, et al. Host-sensitized luminescence properties in CaNb₂O₆:Ln³⁺ (Ln³⁺ = Eu³⁺/Tb³⁺/Dy³⁺/Sm³⁺) phosphors with abundant colors[J]. Inorg Chem, 2015, 54 (1): 323-333.
- [15] Blasse G, Grabmaier B C. Radiative return to the ground state: emission luminescent materials [M]. Berlin, Heidelberg: Springer-Verlag, 1994: 37-70.
- [16] 李捷,冯丽芳.农业害虫物理防治研究进展[J].山西农业科学,2007,35(7):67-70.